

ФЛУКТУАЦИИ В ЖИДКИХ КРИСТАЛЛАХ ПРИ НАЛИЧИИ ФЛЕКСОЭЛЕКТРИЧЕСКОГО ЭФФЕКТА

В. П. Романов, Г. К. Скляренко

*Санкт-Петербургский государственный университет
198904, Санкт-Петербург, Россия*

Поступила в редакцию 4 марта 1997 г.

Рассматриваются флуктуации директора в нематических жидких кристаллах в электрическом поле при наличии флексоэлектрического эффекта. Для планарной и гомеотропной ориентаций рассчитаны корреляционные функции и проведен их анализ вблизи перехода Фредерикса и пороговой флексоэлектрической неустойчивости. Для обеих геометрий рассчитана угловая зависимость интенсивности рассеянного света на флуктуациях директора и рассмотрено ее поведение при значениях электрического поля близких к критическому.

1. ВВЕДЕНИЕ

Благодаря анизотропии диэлектрической проницаемости и магнитной восприимчивости жидкие кристаллы (ЖК) претерпевают разнообразные структурные превращения при воздействии внешних электрического и магнитного полей [1–3]. При этом речь, как правило, идет о неустойчивости однородно ориентированного состояния ЖК при значениях поля выше порогового. Такое изменение макроскопической ориентационной структуры физически эквивалентно фазовому переходу второго рода [1, 4]. Пороговый характер этих явлений связан с ограниченностью слоя ЖК и с определенной жесткостью граничных условий, которые обуславливают возникновение конечных градиентов ориентационных возмущений, допустимых лишь при конечных значениях внешнего поля.

Наиболее известным и хорошо изученным эффектом ориентационного фазового перехода в нематических жидких кристаллах (НЖК) является эффект Фредерикса [1–3]. Исследования этого перехода, который имеет место как в статических полях, так и в поле световой волны [5–9], проводились для различных граничных условий и ориентаций НЖК [10–14]. Рассматривались различные типы искажений, периодические и аperiodические, которые возникают при значениях поля выше порогового [14–16].

В работах [10–12, 14] рассмотрены различные динамические аспекты задач, связанных с влиянием внешнего поля на поведение нематиков, причем предпереходные явления изучались путем анализа наиболее нестабильной моды, амплитуда которой при приближении величины внешнего поля к пороговому аномально возрастает.

В 1969 г. Мейер показал [17], что в НЖК, обладающем центром симметрии, возможен особый пьезоэлектрический эффект, который получил название флексоэлектрического. Этот линейный эффект образования модулированной структуры, индуцированный однородным электрическим полем, связан с существенно анизотропной формой молекул, обладающих постоянными дипольными моментами [1–3].

Настоящая работа посвящена исследованию тепловых флуктуаций в ограниченных НЖК при наличии флексоэлектрического эффекта. Стандартный метод исследования флуктуаций в НЖК состоит в разложении их по собственным модам [10–16, 18–20]. Решение представляется в виде бесконечного ряда, причем нахождение каждого члена этого ряда связано с решением сложного трансцендентного уравнения. В работах [21, 22] был предложен способ, позволяющий получить замкнутые выражения для корреляционных функций флуктуаций директора в случаях как слабого, так и жесткого сцепления с подложкой. Этот подход использован для расчета тепловых флуктуаций в НЖК с жесткими граничными условиями во внешнем электрическом поле при наличии эффекта анизотропии диэлектрической проницаемости и флексоэлектрического эффекта. В результате получены выражения для корреляционных функций флуктуаций директора и интенсивности рассеянного света в случаях гомеотропной и планарной ориентаций нематика. Показано, что угловое распределение интенсивности рассеянного света зависит от величины приложенного поля. Проведен анализ полученных результатов вблизи перехода Фредерикса и пороговой флексоэлектрической неустойчивости.

2. КОРРЕЛЯЦИОННАЯ МАТРИЦА В ПРИСУТСТВИИ ЭЛЕКТРИЧЕСКОГО ПОЛЯ

Пусть НЖК, в котором существует флексоэлектрический эффект, заключен в ячейке толщиной L между плоскопараллельными пластинами с жесткими граничными условиями во внешнем электрическом поле. Введем декартову систему координат с началом в центре ячейки и осью z , нормальной к пластинам (рис. 1).

Изменение свободной энергии ΔF складывается из упругого вклада ΔF_{el} , вклада ΔF_E , связанного с ориентацией директора во внешнем поле, и вклада ΔF_{flex} , обусловленного возникновением флексоэлектрической поляризации [1–3, 14]:

$$\Delta F = \Delta F_{el} + \Delta F_E + \Delta F_{flex} = \frac{1}{2} \int d^3r \left\{ K_1(\operatorname{div} \mathbf{n} \cdot \mathbf{n})^2 + K_2(\mathbf{n} \operatorname{rot} \mathbf{n})^2 + K_3[\mathbf{n} \operatorname{rot} \mathbf{n}]^2 - \frac{\varepsilon_a}{4\pi}(\mathbf{nE})^2 - 2\mathbf{E}(e_1 \mathbf{n} \operatorname{div} \mathbf{n} + e_3[\operatorname{rot} \mathbf{n} \mathbf{n}]) \right\}, \quad (2.1)$$

где K_1, K_2, K_3 — модули Франка, \mathbf{n} — вектор директора, \mathbf{E} — напряженность электрического поля, $\varepsilon_a = \varepsilon_{\parallel} - \varepsilon_{\perp}$ — анизотропия диэлектрической проницаемости, $\varepsilon_{\parallel}, \varepsilon_{\perp}$ — ди-

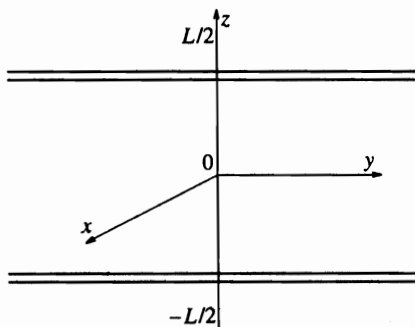


Рис. 1. Геометрия ячейки с жидким кристаллом

электрические проницаемости вдоль и поперек оси нематика соответственно, для определенности считается $\varepsilon_a > 0$, e_1, e_3 — флексоэлектрические коэффициенты.

Рассмотрим вклад в свободную энергию, связанный с флуктуациями директора. Представим вектор \mathbf{n} в виде $\mathbf{n} = \mathbf{n}_0 + \delta\mathbf{n}$, где \mathbf{n}_0 — равновесная ориентация директора, $\delta\mathbf{n}$ — флуктуация директора. Из-за жестких граничных условий на границах области

$$\delta\mathbf{n}(x, y, z = \pm L/2) = 0. \quad (2.2)$$

Полагая отклонение директора $\delta\mathbf{n} = \mathbf{n} - \mathbf{n}_0$ малым, в линейном по $\delta\mathbf{n}$ приближении можно записать $\mathbf{n}^2 = \mathbf{n}_0^2 + 2\mathbf{n}_0\delta\mathbf{n}$, т. е. $\mathbf{n}_0\delta\mathbf{n} = 0$. Это означает, что векторы \mathbf{n}_0 и $\delta\mathbf{n}$ ортогональны. Интегрируя (2.1) по частям с учетом граничных условий (2.2), с точностью до членов второго порядка по $\delta\mathbf{n}$ формулу (2.1) можно представить в виде

$$\Delta F = \frac{1}{2} \int d^3r \delta\mathbf{n}(\mathbf{r}) \hat{A} \delta\mathbf{n}^T(\mathbf{r}), \quad (2.3)$$

где \hat{A} — некоторый дифференциальный оператор, индекс T означает транспонирование.

Как известно, корреляционная матрица флуктуаций директора $\hat{G}(\mathbf{r}, \mathbf{r}') = \langle \delta\mathbf{n}(\mathbf{r}) \delta\mathbf{n}^T(\mathbf{r}') \rangle$ должна удовлетворять соотношению [4]

$$\hat{A} \hat{G}(\mathbf{r}, \mathbf{r}') = k_B T \hat{I} \delta(\mathbf{r} - \mathbf{r}'), \quad (2.4)$$

где \hat{I} — единичная матрица, T — температура, k_B — постоянная Больцмана. Флуктуацию $\delta\mathbf{n}(\mathbf{r})$ удобно представить в виде двумерного интеграла Фурье:

$$\delta\mathbf{n}(\mathbf{r}) = \frac{1}{(2\pi)^2} \int d^2q \exp[-i(\mathbf{q}\mathbf{r}_\perp)] \delta\mathbf{n}(\mathbf{q}, z), \quad (2.5)$$

где $\mathbf{r} = (\mathbf{r}_\perp, z)$, \mathbf{q} — волновой вектор, лежащий в плоскости xy , $\mathbf{q} = (q \cos \varphi, q \sin \varphi)$, φ — угол между вектором \mathbf{q} и осью x . Тогда изменение свободной энергии (2.3) можно записать в виде

$$\Delta F = \frac{1}{(2\pi)^2} \int d^2q \Delta F_{\mathbf{q}}, \quad (2.6)$$

где

$$\Delta F_{\mathbf{q}} = \frac{1}{2} \int_{-L/2}^{L/2} dz \delta\mathbf{n}^*(\mathbf{q}, z) \hat{A}_{\mathbf{q}} \delta\mathbf{n}^T(\mathbf{q}, z), \quad (2.7)$$

$\hat{A}_{\mathbf{q}}$ — оператор \hat{A} в (\mathbf{q}, z) -представлении, звездочка означает комплексное сопряжение. Уравнение (2.4) после перехода к фурье-представлению примет вид

$$\hat{A}_{\mathbf{q}} \hat{G}(\mathbf{q}, z, z') = k_B T \hat{I} \delta(z - z'). \quad (2.8)$$

Следовательно, для того чтобы определить корреляционную матрицу, необходимо обратить оператор $\hat{A}_{\mathbf{q}}$ с учетом граничных условий

$$\hat{G}(\mathbf{q}, z = \pm L/2, z') = 0. \quad (2.9)$$

Рассмотрим решение этой задачи для двух ориентаций НЖК: гомеотропной и планарной.

3. ФЛУКТУАЦИИ ДИРЕКТОРА В ГОМЕОТРОПНО ОРИЕНТИРОВАННОЙ ЯЧЕЙКЕ

Пригомеотропной ориентации равновесное направление директора имеет вид $\mathbf{n}_0 = (0, 0, 1)$, а его флуктуация $\delta\mathbf{n}(\mathbf{r}) = (n_x, n_y, 0)$, причем на границах выполняется соотношение

$$n_x(x, y, z = \pm L/2) = n_y(x, y, z = \pm L/2) = 0.$$

Пусть ячейка находится в однородном электрическом поле, направленном вдоль оси x , $\mathbf{E} = (E, 0, 0)$. Тогда изменение свободной энергии (2.1) с точностью до членов второго порядка по $\delta\mathbf{n}$ принимает вид

$$\Delta F^{(h)} = \frac{1}{2} \int d^3r \left\{ K_1(\partial_x n_x + \partial_y n_y)^2 + K_2(\partial_x n_y - \partial_y n_x)^2 + K_3[(\partial_z n_x)^2 + (\partial_z n_y)^2] - \frac{\varepsilon_a}{4\pi} E^2 n_x^2 - 2E[e_1 n_x(\partial_x n_x + \partial_y n_y) + e_3(\partial_z n_x - n_y \partial_x n_y + n_y \partial_y n_x)] \right\}, \quad (3.1)$$

где символ $\partial_j (j = x, y, z)$ означает частную производную по соответствующей координате.

После интегрирования по частям и перехода к двумерному спектру Фурье выражение (3.1) можно представить в форме (2.7):

$$\Delta F_q^{(h)} = \frac{1}{2} \int_{-L/2}^{L/2} dz (n_x^*, n_y^*) \hat{A}_q^h \begin{pmatrix} n_x \\ n_y \end{pmatrix}, \quad (3.2)$$

где $n_i \equiv n_i(\mathbf{q}, z)$, $i = x, y$, матрица \hat{A}_q^h равна

$$\hat{A}_q^h = \begin{pmatrix} K_1 q_x^2 + K_2 q_y^2 - K_3 \partial_z^2 - \frac{\varepsilon_a}{4\pi} E^2 & (K_1 - K_2) q_x q_y + i(e_1 - e_3) E q_y \\ (K_1 - K_2) q_x q_y - i(e_1 - e_3) E q_y & K_1 q_y^2 + K_2 q_x^2 - K_3 \partial_z^2 \end{pmatrix}.$$

Матрица \hat{A}_q^h диагонализуется преобразованием вида $\hat{U}^{-1} \hat{A}_q^h \hat{U}$, где \hat{U} — матрица, составленная из собственных векторов \hat{A}_q^h :

$$\hat{U} =$$

$$= \begin{pmatrix} (K_1 - K_2) q_x q_y + i(e_1 - e_3) E q_y & (K_1 - K_2) q_x q_y + i(e_1 - e_3) E q_y \\ \frac{1}{2} \left[\frac{\varepsilon_a}{4\pi} E^2 + (K_1 - K_2)(q_y^2 - q_x^2) + g \right] & \frac{1}{2} \left[\frac{\varepsilon_a}{4\pi} E^2 + (K_1 - K_2)(q_y^2 - q_x^2) - g \right] \end{pmatrix},$$

где

$$g = \left[(K_1 - K_2)^2 q^4 + \left(\frac{\varepsilon_a}{4\pi} E^2 \right)^2 + 4(e_1 - e_3)^2 E^2 q_y^2 + \frac{\varepsilon_a}{2\pi} E^2 (q_y^2 - q_x^2)(K_1 - K_2) \right]^{1/2}.$$

Уравнение (2.8) можно переписать в эквивалентном виде

$$\hat{U}^{-1} \hat{A}_q^h \hat{U} \hat{U}^{-1} \hat{G}^h \hat{U} = k_B T \hat{I} \delta(z - z'). \tag{3.3}$$

Используя явные выражения для матриц \hat{A}_q^h, \hat{U} и \hat{U}^{-1} , имеем

$$\begin{pmatrix} \partial_z^2 - P_{(h)}^2 & 0 \\ 0 & \partial_z^2 - Q_{(h)}^2 \end{pmatrix} \hat{X} = -\frac{k_B T}{K_3} \hat{I} \delta(z - z'), \tag{3.4}$$

где

$$\hat{X} = \hat{U}^{-1} \hat{G}^h \hat{U}, \tag{3.5}$$

$$P_{(h)}^2 = \frac{1}{2K_3} \left[(K_1 + K_2)q^2 - \frac{\epsilon_a}{4\pi} E^2 + g \right], \tag{3.6}$$

$$Q_{(h)}^2 = \frac{1}{2K_3} \left[(K_1 + K_2)q^2 - \frac{\epsilon_a}{4\pi} E^2 - g \right]. \tag{3.7}$$

Из граничных условий (2.9) следует, что

$$\hat{X}(z = \pm L/2, z') = 0. \tag{3.8}$$

Таким образом, (3.4), (3.8) представляют собой четыре замкнутых дифференциальных уравнения с граничными условиями для четырех элементов матрицы \hat{X} . Очевидно, что

$$X_{12}(z, z') = X_{21}(z, z') = 0. \tag{3.9}$$

Нахождение диагональных элементов матрицы \hat{X} сводится к решению граничной задачи типа

$$\begin{aligned} \partial_z^2 X_{ii}(z, z') - a_{ii}^2 X_{ii}(z, z') &= b_{ii} \delta(z - z'), \\ X_{ii}(z = \pm L/2, z') &= 0, \quad i = 1, 2. \end{aligned} \tag{3.10}$$

Ее решение имеет вид

$$X_{ii}(z, z') = \begin{cases} X_{ii}^{(+)} = C^{(+)} \text{sh}[a_{ii}(z - L/2)], & z > z', \\ X_{ii}^{(-)} = C^{(-)} \text{sh}[a_{ii}(z + L/2)], & z < z', \end{cases} \tag{3.11}$$

где $C^{(+)}, C^{(-)}$ — некоторые постоянные. Их можно найти из условий, налагаемых на решения $X_{ii}^{(+)}$ и $X_{ii}^{(-)}$ в точке $z = z'$,

$$\begin{aligned} X_{ii}^{(+)}(z = z') &= X_{ii}^{(-)}(z = z'), \\ \partial_z X_{ii}^{(+)}(z = z') - \partial_z X_{ii}^{(-)}(z = z') &= b_{ii}. \end{aligned} \tag{3.12}$$

Решая систему (3.12) и подставляя найденные значения $C^{(+)}, C^{(-)}$ в (3.11), получаем

$$X_{ii}(z, z') = \frac{b_{ii}}{a_{ii} \text{sh}(a_{ii} L)} \begin{cases} \text{sh}[a_{ii}(z - L/2)] \text{sh}[a_{ii}(z' + L/2)], & z > z', \\ \text{sh}[a_{ii}(z + L/2)] \text{sh}[a_{ii}(z' - L/2)], & z < z'. \end{cases} \tag{3.13}$$

Формулу (3.13) можно записать в более компактной форме:

$$X_{ii}(z, z') = \frac{b_{ii}}{2a_{ii} \operatorname{sh}(a_{ii}L)} \left\{ \operatorname{ch}[a_{ii}(z + z')] - \operatorname{ch}(a_{ii}L) \operatorname{ch}[a_{ii}(z - z')] + \operatorname{sh}(a_{ii}L) \operatorname{sh}(a_{ii} | z - z' |) \right\}. \quad (3.14)$$

Теперь, подставляя в (3.14) вместо коэффициентов a_{ii} и b_{ii} соответствующие выражения из (3.4), получаем

$$X_{11}(z, z') = \frac{k_B T}{2K_3 P_{(h)} \operatorname{sh}(P_{(h)}L)} \left\{ -\operatorname{ch}[P_{(h)}(z + z')] + \operatorname{ch}(P_{(h)}L) \operatorname{ch}[P_{(h)}(z - z')] - \operatorname{sh}(P_{(h)}L) \operatorname{sh}(P_{(h)} | z - z' |) \right\} \equiv -\frac{1}{K_3} J(P_{(h)}), \quad (3.15)$$

$$X_{22}(z, z') = \frac{k_B T}{2K_3 Q_{(h)} \operatorname{sh}(Q_{(h)}L)} \left\{ -\operatorname{ch}[Q_{(h)}(z + z')] + \operatorname{ch}(Q_{(h)}L) \operatorname{ch}[Q_{(h)}(z - z')] - \operatorname{sh}(Q_{(h)}L) \operatorname{sh}(Q_{(h)} | z - z' |) \right\} \equiv -\frac{1}{K_3} J(Q_{(h)}). \quad (3.16)$$

Из (3.5) следует, что корреляционная матрица $\hat{G}^h = \hat{U} \hat{X} \hat{U}^{-1}$. Подставив в это уравнение выражения (3.9), (3.15), (3.16), для элементов матрицы \hat{G}^h получаем

$$\begin{aligned} G_{11}^h &= \langle n_x(\mathbf{q}, z) n_x^*(\mathbf{q}, z') \rangle = \frac{1}{2K_3} \left\{ \frac{1}{g} \left[\frac{\varepsilon_a}{4\pi} E^2 + (K_1 - K_2)(q_y^2 - q_x^2) \right] \times \right. \\ &\quad \left. \times \left[J(P_{(h)}) - J(Q_{(h)}) \right] - \left[J(P_{(h)}) + J(Q_{(h)}) \right] \right\}, \\ G_{22}^h &= \langle n_y(\mathbf{q}, z) n_y^*(\mathbf{q}, z') \rangle = -\frac{1}{2K_3} \left\{ \frac{1}{g} \left[\frac{\varepsilon_a}{4\pi} E^2 + (K_1 - K_2)(q_y^2 - q_x^2) \right] \times \right. \\ &\quad \left. \times \left[J(P_{(h)}) - J(Q_{(h)}) \right] + \left[J(P_{(h)}) + J(Q_{(h)}) \right] \right\}, \\ G_{12}^h &= \langle n_x(\mathbf{q}, z) n_y^*(\mathbf{q}, z') \rangle = -\frac{1}{gK_3} \left[(K_1 - K_2) q_x q_y + i(e_1 - e_3) E q_y \right] \times \\ &\quad \times \left[J(P_{(h)}) - J(Q_{(h)}) \right], \\ G_{21}^h &= \langle n_y(\mathbf{q}, z) n_x^*(\mathbf{q}, z') \rangle = -\frac{1}{gK_3} \left[(K_1 - K_2) q_x q_y - i(e_1 - e_3) E q_y \right] \times \\ &\quad \times \left[J(P_{(h)}) - J(Q_{(h)}) \right]. \end{aligned} \quad (3.17)$$

Заметим, что при $E = 0$ эти корреляционные функции совпадают с полученными в работах [18, 19, 21] в предельном случае жесткого сцепления с подложкой ($W \rightarrow \infty$).

4. ФЛУКТУАЦИИ ДИРЕКТОРА В ПЛАНАРНО ОРИЕНТИРОВАННОЙ ЯЧЕЙКЕ

В случае планарной ориентации равновесное положение директора и его флуктуация имеют вид $\mathbf{n}_0 = (1, 0, 0)$, $\delta \mathbf{n} = (0, n_y, n_z)$, причем

$$n_y(x, y, z = \pm L/2) = n_z(x, y, z = \pm L/2) = 0. \quad (4.1)$$

Пусть однородное электрическое поле направлено вдоль оси z : $\mathbf{E} = (0, 0, E)$. В этой геометрии изменение свободной энергии (2.1) с точностью до членов второго порядка по $\delta\mathbf{n}$ принимает вид

$$\Delta F^{(p)} = \frac{1}{2} \int d^3r \left\{ K_1(\partial_y n_y + \partial_z n_z)^2 + K_2(\partial_y n_z - \partial_z n_y)^2 + K_3[(\partial_x n_y)^2 + (\partial_x n_z)^2] - \right. \\ \left. - \frac{\varepsilon_a}{4\pi} E^2 n_z^2 - 2E[e_1 n_z(\partial_z n_z + \partial_y n_y) + e_3(\partial_x n_z + n_y \partial_y n_z + n_z \partial_z n_z)] \right\}. \quad (4.2)$$

Интегрируя по частям и переходя к двумерному спектру Фурье, получаем

$$\Delta F_q^{(p)} = \frac{1}{2} \int_{-L/2}^{L/2} dz (n_y^*, n_z^*) \hat{A}_q^p \begin{pmatrix} n_y \\ n_z \end{pmatrix},$$

где $n_j \equiv n_j(\mathbf{q}, z)$, $j = y, z$,

$$\hat{A}_q^p = \begin{pmatrix} K_3 q_x^2 + K_1 q_y^2 - K_2 \partial_z^2 & -i(K_1 - K_2) q_y \partial_z + i(e_1 - e_3) E q_y \\ -i(K_1 - K_2) q_y \partial_z - i(e_1 - e_3) E q_y & K_3 q_x^2 + K_2 q_y^2 - K_1 \partial_z^2 - \frac{\varepsilon_a}{4\pi} E^2 \end{pmatrix}.$$

Матрицу \hat{A}_q^p в отличие от \hat{A}_q^h нельзя диагонализировать преобразованием подобия, поскольку она не является самосопряженной. Поэтому уравнение (2.8) необходимо преобразовать таким образом, чтобы в левой части этого уравнения стоял оператор \hat{B}_q^p , допускающий диагонализацию. Для этого представим (2.8) в виде

$$(\hat{A}_0 + i\hat{C}\partial_z + \hat{D}\partial_z^2)\hat{G}^p = k_B T \hat{I} \delta(z - z'), \quad (4.3)$$

где матрицы \hat{A}_0 , \hat{C} и \hat{D} равны

$$\hat{A}_0 = \begin{pmatrix} K_3 q_x^2 + K_1 q_y^2 & i(e_1 - e_3) E q_y \\ -i(e_1 - e_3) E q_y & K_3 q_x^2 + K_2 q_y^2 - \frac{\varepsilon_a}{4\pi} E^2 \end{pmatrix}, \\ \hat{C} = \begin{pmatrix} 0 & -(K_1 - K_2) q_y \\ -(K_1 - K_2) q_y & 0 \end{pmatrix}, \\ \hat{D} = \begin{pmatrix} -K_2 & 0 \\ 0 & -K_1 \end{pmatrix}.$$

Умножая обе части (4.3) на матрицу \hat{D}^{-1} и выделяя полный квадрат, получаем

$$\left[\left(\hat{I} \partial_z + \frac{i}{2} \hat{D}^{-1} \hat{C} \right)^2 + \hat{H} \right] \hat{G}^p = k_B T \hat{D}^{-1} \delta(z - z'), \quad (4.4)$$

где

$$\hat{H} = (\hat{D}^{-1} \hat{C})^2 / 4 + \hat{D}^{-1} \hat{A}_0. \quad (4.5)$$

Переходя к новой переменной

$$\hat{G}_0^p = \exp\left(\frac{i}{2}\hat{D}^{-1}\hat{C}z\right)\hat{G}^p \tag{4.6}$$

и учитывая граничные условия (2.9), имеем

$$(\hat{H}' + \hat{I}\partial_z^2)\hat{G}_0^p(\mathbf{q}, z, z') = k_B T \exp\left(\frac{i}{2}\hat{D}^{-1}\hat{C}z\right)\hat{D}^{-1}\delta(z - z'), \tag{4.7}$$

$$\hat{G}_0^p(\mathbf{q}, z = \pm L/2, z') = 0, \tag{4.8}$$

где

$$\hat{H}' = \exp\left(\frac{i}{2}\hat{D}^{-1}\hat{C}z\right)\hat{H}\exp\left(-\frac{i}{2}\hat{D}^{-1}\hat{C}z\right). \tag{4.9}$$

Оператор $\hat{B}_q^p \equiv \hat{H}' + \hat{I}\partial_z^2$ имеет вид (см. Приложение)

$$\hat{B}_q^p = \begin{pmatrix} -a \sin^2 \alpha - b \cos^2 \alpha + f \sin(2\alpha) + \partial_z^2 & i\sqrt{\frac{K_1}{K_2}}\left(\frac{a-b}{2}\sin(2\alpha) - f \cos(2\alpha)\right) \\ -i\sqrt{\frac{K_2}{K_1}}\left(\frac{a-b}{2}\sin(2\alpha) - f \cos(2\alpha)\right) & -a \cos^2 \alpha - b \sin^2 \alpha - f \sin(2\alpha) + \partial_z^2 \end{pmatrix}, \tag{4.10}$$

где

$$\begin{aligned} a &= \frac{K_3}{K_1}q_x^2 + \left(\frac{1}{2} + \frac{3}{4}\frac{K_2}{K_1} - \frac{1}{4}\frac{K_1}{K_2}\right)q_y^2 - \frac{\epsilon_a}{4\pi K_1}E^2, \\ b &= \frac{K_3}{K_2}q_x^2 + \left(\frac{1}{2} + \frac{3}{4}\frac{K_1}{K_2} - \frac{1}{4}\frac{K_2}{K_1}\right)q_y^2, \\ f &= \frac{e_1 - e_3}{\sqrt{K_1 K_2}}Eq_y, \\ \alpha &= -\frac{1}{2}\frac{K_1 - K_2}{\sqrt{K_1 K_2}}q_y z. \end{aligned} \tag{4.11}$$

Этот оператор можно диагонализировать преобразованием $\hat{V}^{-1}\hat{B}_q^p\hat{V}$. Матрица \hat{V} , составленная из собственных векторов оператора \hat{B}_q^p , равна

$$\hat{V} = \begin{pmatrix} u & u \\ \sqrt{\frac{K_2}{K_1}}(w-p) & \sqrt{\frac{K_2}{K_1}}(w+p) \end{pmatrix},$$

где

$$\begin{aligned}
 u &= i \left(\frac{b-a}{2} \sin(2\alpha) + f \cos(2\alpha) \right), \\
 w &= f \sin(2\alpha) + \frac{a+b}{2} - a \sin^2 \alpha - b \cos^2 \alpha, \\
 p &= \sqrt{\left(\frac{a-b}{2} \right)^2 + f^2}.
 \end{aligned}
 \tag{4.12}$$

Уравнение (4.7) можно переписать в эквивалентном виде

$$\hat{V}^{-1} \hat{B}_q^p \hat{V} \hat{V}^{-1} \hat{G}_0^p \hat{V} = k_B T \left[\hat{V}^{-1} \exp \left(\frac{i}{2} \hat{D}^{-1} \hat{C} z \right) \hat{D}^{-1} \hat{V} \right] \delta(z - z').
 \tag{4.13}$$

Если ввести обозначения

$$\begin{aligned}
 \hat{W} &= \hat{V}^{-1} \hat{G}_0^p \hat{V}, \quad \hat{S} = \hat{V}^{-1} \exp \left(\frac{i}{2} \hat{D}^{-1} \hat{C} z \right) \hat{D}^{-1} \hat{V}, \\
 P_{(p)} &= \sqrt{\frac{a+b}{2} + p}, \quad Q_{(p)} = \sqrt{\frac{a+b}{2} - p},
 \end{aligned}
 \tag{4.14}$$

то для \hat{W} из (4.13), (4.8) имеем

$$\begin{pmatrix} \partial_z^2 - Q_{(p)} & 0 \\ 0 & \partial_z^2 - P_{(p)} \end{pmatrix} \hat{W} = k_B T \hat{S} \delta(z - z'),
 \tag{4.15}$$

причем

$$\hat{W}(z = \pm L/2, z') = 0.
 \tag{4.16}$$

Матрицу \hat{S} можно вычислить, перемножив четыре матрицы, используя выражение для $\exp[(i/2)\hat{D}^{-1}\hat{C}z]$, полученное в Приложении

$$\begin{aligned}
 S_{11} &= \frac{1}{2pu} \left[\left(\frac{w-p}{K_1} - \frac{w+p}{K_2} \right) u \cos \alpha + i \left(\frac{1}{K_1} - \frac{1}{K_2} \right) u^2 \sin \alpha \right], \\
 S_{22} &= \frac{1}{2pu} \left[\left(\frac{w-p}{K_2} - \frac{w+p}{K_1} \right) u \cos \alpha + i \left(\frac{1}{K_2} - \frac{1}{K_1} \right) u^2 \sin \alpha \right], \\
 S_{12} &= \frac{1}{2pu} \left[\left(\frac{1}{K_1} - \frac{1}{K_2} \right) (w+p) u \cos \alpha + i \left(\frac{(w+p)^2}{K_1} - \frac{u^2}{K_2} \right) \sin \alpha \right], \\
 S_{21} &= \frac{1}{2pu} \left[\left(\frac{1}{K_2} - \frac{1}{K_1} \right) (w-p) u \cos \alpha + i \left(\frac{u^2}{K_2} - \frac{(w-p)^2}{K_1} \right) \sin \alpha \right].
 \end{aligned}
 \tag{4.17}$$

Формулы (4.15), (4.16) представляют собой четыре дифференциальных уравнения с граничными условиями для элементов матрицы \hat{W} . Эти уравнения аналогичны уравнениям (3.10). Их решения имеют вид

$$W_{ij}(z, z') = S_{ij} Y_{ii}, \quad i, j = 1, 2,
 \tag{4.18}$$

где

$$Y_{11} = \frac{k_B T}{2P_{(p)} \operatorname{sh}(P_{(p)} L)} \left\{ \operatorname{ch}[P_{(p)}(z + z')] - \operatorname{ch}(P_{(p)} L) \operatorname{ch}[P_{(p)}(z - z')] + \operatorname{sh}(P_{(p)} L) \operatorname{sh}[P_{(p)} |z - z'|] \right\} = J(P_{(p)}), \tag{4.19}$$

$$Y_{22} = \frac{k_B T}{2Q_{(p)} \operatorname{sh}(Q_{(p)} L)} \left\{ \operatorname{ch}[Q_{(p)}(z + z')] - \operatorname{ch}(Q_{(p)} L) \operatorname{ch}[Q_{(p)}(z - z')] + \operatorname{sh}(Q_{(p)} L) \operatorname{sh}[Q_{(p)} |z - z'|] \right\} = J(Q_{(p)}), \tag{4.20}$$

где функция J определяется формулой (3.15).

Из (4.6), (4.14) следует, что корреляционная матрица имеет вид

$$\hat{G}^p = \exp \left(-\frac{i}{2} \hat{D}^{-1} \hat{C} z \right) \hat{V} \hat{W} \hat{V}^{-1}.$$

Используя формулы (П.5), (4.17), (4.18), для элементов матрицы \hat{G}^p получаем

$$\begin{aligned} G_{11}^p &= \langle n_y(\mathbf{q}, z) n_y^*(\mathbf{q}, z') \rangle = -\frac{1}{2K_2} \left\{ \frac{1}{p} [w \cos(2\alpha) + iu \sin(2\alpha)] \times \right. \\ &\quad \times [J(P_{(p)}) - J(Q_{(p)})] + [J(P_{(p)}) + J(Q_{(p)})] \left. \right\}, \\ G_{22}^p &= \langle n_z(\mathbf{q}, z) n_z^*(\mathbf{q}, z') \rangle = \frac{1}{2K_1} \left\{ \frac{1}{p} [w \cos(2\alpha) + iu \sin(2\alpha)] \times \right. \\ &\quad \times [J(P_{(p)}) - J(Q_{(p)})] - [J(P_{(p)}) + J(Q_{(p)})] \left. \right\}, \tag{4.21} \\ G_{12}^p &= \langle n_y(\mathbf{q}, z) n_z^*(\mathbf{q}, z') \rangle = \frac{1}{2\sqrt{K_1 K_2}} \left\{ \frac{1}{p} [w \cos(2\alpha) + iu \sin(2\alpha)] \times \right. \\ &\quad \times [J(P_{(p)}) - J(Q_{(p)})], \\ G_{21}^p &= \langle n_z(\mathbf{q}, z) n_y^*(\mathbf{q}, z') \rangle = -G_{12}^p. \end{aligned}$$

Как и в случае гомеотропной ориентации, при $E = 0$ полученные результаты совпадают с результатами работ [18, 19, 21] для жестких граничных условий.

5. КОРРЕЛЯЦИОННЫЕ ФУНКЦИИ ВЕЛИЗИ ПОРОГА НЕУСТОЙЧИВОСТИ

Для обеих рассмотренных ориентаций корреляционные функции флуктуаций директора во внешнем электрическом поле (3.17), (4.21), с учетом обозначений (3.15), (3.16), (4.19), (4.20) имеют полюсы первого порядка. В одноконстантном приближении, $K_i = K$, $i = 1, 2, 3$, эти полюсы появляются при

$$Q_{(h)} = Q_{(p)} = \pm i \frac{\pi}{L} m, \quad m = 1, 2, \dots$$

Отметим, что при $Q_{(h)} = Q_{(p)} = 0$ выражения для корреляционных функций остаются конечными, поскольку

$$\lim_{Q \rightarrow 0} \left\{ \frac{1}{Q \operatorname{sh}(QL)} \left(\operatorname{ch}[Q(z+z')] - \operatorname{ch}(QL) \operatorname{ch}[Q(z-z')] \right) + \operatorname{sh}(QL) \operatorname{sh}[Q|z-z'|] \right\} = -\frac{L}{2} + \frac{2zz'}{L} + |z-z'|. \quad (5.1)$$

Если рассматривать $Q_{(h),(p)}$ как функции поля, т. е. q считать фиксированным, то можно заметить, что количество полюсов возрастает с увеличением E . Найдем значения $E_0^{(h)}$, $E_0^{(p)}$, которые соответствуют первому полюсу. В случае гомеотропной ориентации величина поля $E_0^{(h)}$ определяется из соотношения

$$Q_{(h)} = \sqrt{q^2 - \frac{\varepsilon_a}{8\pi K} (E_0^{(h)})^2 - \frac{1}{2K} \sqrt{\left[\frac{\varepsilon_a}{4\pi} (E_0^{(h)})^2 \right]^2 + 4(e_1 - e_3)^2 (E_0^{(h)})^2 q_y^2}} = \pm i \frac{\pi}{L}. \quad (5.2)$$

Решая (5.2) относительно $E_0^{(h)}$, находим

$$E_0^{(h)} = \frac{K(q^2 + \pi^2/L^2)}{\sqrt{(e_1 - e_3)^2 q_y^2 + (\varepsilon_a/4\pi) K(q^2 + \pi^2/L^2)}}. \quad (5.3)$$

Аналогично, пользуясь формулами (4.11), (4.12), (4.14), для планарной ориентации получаем уравнение, полностью совпадающее с (5.2). Таким образом, первый полюс у корреляционных функций для обеих ориентаций директора появляется при

$$E = E_0^{(h)} = E_0^{(p)} \equiv E_0(q_x, q_y).$$

Из формулы (5.3) видно, что $E_0(q_x, q_y)$ монотонно возрастает с ростом q_x . Поэтому наименьшему значению поля, при котором корреляционные функции имеют полюс, соответствует значение $q_x = 0$. Причиной возникновения полюса является либо переход Фредерикса, либо пороговая флексоэлектрическая неустойчивость в ячейках конечной толщины [3, 14]. Последняя заключается в появлении специфической доменной структуры при значениях поля, больших критического E_c . Тип перехода зависит от параметров НЖК и геометрии системы.

В случае планарной ориентации флексоэлектрический эффект подробно рассмотрен в [3]. Используя такой же метод, нетрудно вычислить критическое значение поля и для случая гомеотропной ориентации, которое в одноконстантном приближении совпадает с полученным в [3] для планарной ориентации:

$$E(q_y) = \frac{K[q_y^2 + (\pi/L)^2]}{\sqrt{(e_1 - e_3)^2 q_y^2 + (\varepsilon_a/4\pi) K[q_y^2 + (\pi/L)^2]}} = E_0(q_x = 0, q_y). \quad (5.4)$$

Минимум функции $E(q_y)$ определяет пороговые значения E_c и q_c :

$$q_c = \frac{\pi}{L} \sqrt{\frac{(e_1 - e_3)^2 - (\varepsilon_a/4\pi)K}{(e_1 - e_3)^2 + (\varepsilon_a/4\pi)K}},$$

$$E_c = \frac{\pi}{L} \frac{2K(e_1 - e_3)}{(e_1 - e_3)^2 + (\varepsilon_a/4\pi)K}. \quad (5.5)$$

Из формул (5.5) видно, что флексоэлектрическая неустойчивость может возникнуть лишь при условии

$$\varepsilon_a < 4\pi(e_1 - e_3)^2/K. \quad (5.6)$$

В противном случае $E(q_y)$ будет иметь минимум при $q_y = 0$,

$$E_c = \frac{\pi}{L} \sqrt{\frac{4\pi K}{\varepsilon_a}},$$

что соответствует переходу Фредерикса.

Таким образом, полученные формулы описывают корреляционные функции флуктуаций директора при значениях поля меньших критического. При $E \geq E_c$ проведенный анализ неприменим, поскольку исходную ориентацию нельзя считать однородной. При $E \rightarrow E_c$ аномально возрастают корреляционные функции мод с волновыми векторами, близкими к $\mathbf{q} = (0, q_c)$. Подробный анализ поведения критической моды выполнен в [14].

6. РАССЕЯНИЕ СВЕТА НА ФЛУКТУАЦИЯХ ДИРЕКТОРА В ПРИСУТСТВИИ ЭЛЕКТРИЧЕСКОГО ПОЛЯ

Нематический жидкий кристалл является оптически анизотропной средой, причем тензор диэлектрической проницаемости $\varepsilon_{\alpha\beta}$ связан с полем директора соотношением

$$\varepsilon_{\alpha\beta}(\mathbf{r}) = \varepsilon_{\perp} \delta_{\alpha\beta} + \varepsilon_a n_{\alpha}(\mathbf{r}) n_{\beta}(\mathbf{r}).$$

Флуктуации директора $\delta\mathbf{n}(\mathbf{r})$ приводят к изменению тензора $\varepsilon_{\alpha\beta}(\mathbf{r})$:

$$\delta\varepsilon_{\alpha\beta}(\mathbf{r}) = \varepsilon_a [n_{\alpha} \delta n_{\beta}(\mathbf{r}) + n_{\beta} \delta n_{\alpha}(\mathbf{r})]. \quad (6.1)$$

Это изменение, в свою очередь, вызывает рассеяние света в среде.

Интенсивность рассеянного света I пропорциональна $\langle E'_{\alpha}(\mathbf{r}) E'_{\beta}{}^*(\mathbf{r}) \rangle$, где \mathbf{E}' — поле рассеянной волны [23]. Если в среде распространяется плоская волна с амплитудой \mathbf{E}^0 и волновым вектором \mathbf{k}_i то величина $\langle E'_{\alpha}(\mathbf{r}) E'_{\beta}{}^*(\mathbf{r}) \rangle$ однократно рассеянных волн \mathbf{E}' определяется интегралом по рассеивающему объему [23, 24]:

$$\begin{aligned} \langle E'_{\alpha}(\mathbf{r}) E'_{\beta}{}^*(\mathbf{r}) \rangle &= \frac{\omega^4}{c^4} \int d^3 r' d^3 r'' T_{\alpha\gamma}(\mathbf{r}, \mathbf{r}') T_{\beta\lambda}^*(\mathbf{r}, \mathbf{r}'') \langle \delta\varepsilon_{\gamma\mu}(\mathbf{r}') \delta\varepsilon_{\lambda\nu}(\mathbf{r}'') \rangle \times \\ &\times E_{\mu}^0 E_{\nu}^0 \exp\{i\mathbf{k}_i(\mathbf{r}' - \mathbf{r}'')\}, \end{aligned} \quad (6.2)$$

где ω — круговая частота, c — скорость света, $T_{\alpha\beta}(\mathbf{r}', \mathbf{r}'')$ — функция Грина уравнений Максвелла.

Для простоты при описании рассеяния света мы ограничимся приближением изотропной среды, т. е. будем считать, что на больших расстояниях

$$T_{\alpha\beta}(\mathbf{r}) = \frac{1}{4\pi r} e^{i\mathbf{k}\mathbf{r}} (\delta_{\alpha\beta} - s_{\alpha} s_{\beta}), \quad (6.3)$$

где $k = (\omega/c)\sqrt{\varepsilon}$, ε — средняя диэлектрическая проницаемость, $\mathbf{s} = \mathbf{r}/r$ — направление на точку наблюдения.

Подставляя (6.3) в (6.2), получаем

$$\langle E'_\alpha(\mathbf{r})E'^*_\beta(\mathbf{r}) \rangle = \frac{\omega^4 V}{c^4 (4\pi)^2 r^2} (\delta_{\alpha\gamma} - s_\alpha s_\gamma) (\delta_{\beta\lambda} - s_\beta s_\lambda) \frac{1}{L} \times$$

$$\times \int_{-L/2}^{L/2} dz' \int_{-L/2}^{L/2} dz'' \exp[-iq_{sc,z}(z - z')] \langle \delta\varepsilon_{\gamma\mu}(\mathbf{q}_{sc}^\perp, z') \delta\varepsilon_{\lambda\nu}^*(\mathbf{q}_{sc}^\perp, z'') \rangle E_\mu^0 E_\nu^0, \quad (6.4)$$

где V — рассеивающий объем, $\mathbf{q}_{sc} = s\mathbf{k} - \mathbf{k}_i$ — вектор рассеяния, $\mathbf{q}_{sc}^\perp = (q_{sc,x}, q_{sc,y}, 0)$ — поперечная составляющая \mathbf{q}_{sc} .

Согласно формуле (6.1), корреляционная функция флуктуаций тензора диэлектрической проницаемости связана с флуктуациями директора соотношением

$$\langle \delta\varepsilon_{\gamma\mu}(\mathbf{q}_{sc}^\perp, z') \delta\varepsilon_{\lambda\nu}^*(\mathbf{q}_{sc}^\perp, z'') \rangle =$$

$$= \varepsilon_a \left[n_\gamma^0 n_\lambda^0 \langle \delta n_\mu(\mathbf{q}_{sc}^\perp, z') \delta n_\lambda(\mathbf{q}_{sc}^\perp, z'') \rangle + n_\mu^0 n_\nu^0 \langle \delta n_\gamma(\mathbf{q}_{sc}^\perp, z') \delta n_\lambda(\mathbf{q}_{sc}^\perp, z'') \rangle + \right.$$

$$\left. + n_\gamma^0 n_\nu^0 \langle \delta n_\mu(\mathbf{q}_{sc}^\perp, z') \delta n_\lambda(\mathbf{q}_{sc}^\perp, z'') \rangle + n_\mu^0 n_\lambda^0 \langle \delta n_\gamma(\mathbf{q}_{sc}^\perp, z') \delta n_\nu(\mathbf{q}_{sc}^\perp, z'') \rangle \right]. \quad (6.5)$$

Будем рассматривать случай нормального падения, т.е. $\mathbf{k}_i = (0, 0, k)$. Если рассеяние происходит в направлении $\mathbf{s} = (\sin\theta \cos\varphi, \sin\theta \sin\varphi, \cos\theta)$, то вектор рассеяния имеет вид

$$\mathbf{q}_{sc} = k(\sin\theta \cos\varphi, \sin\theta \sin\varphi, \cos\theta - 1),$$

$$q_{sc} = 2k \sin(\theta/2). \quad (6.6)$$

Формулы (6.4), (6.5) совместно с выражениями (3.17), (4.21) позволяют определить интенсивность рассеяния света для обеих рассмотренных ориентаций директора.

Пусть свет, распространяющийся в среде, линейно поляризован вдоль оси y , то есть в выражениях (6.4), (6.5) следует положить $\mu = \nu = y$. Тогда в одноконстантном приближении, $K_i = K$, $i = 1, 2, 3$, для интенсивностей рассеянного света в случаях гомеотропной и планарной ориентаций соответственно, получаем

$$I^{(h)}(\theta, E) = I_0 \frac{\omega^4}{c^4} \frac{V \varepsilon_a^2}{(4\pi)^2 r^2} \frac{1}{L} \sin^2 \theta \times$$

$$\times \int_{-L/2}^{L/2} \int_{-L/2}^{L/2} dz' dz'' \exp[-iq_{sc,z}(z' - z'')] G_{22}^h(\mathbf{q}_{sc}^\perp, z', z''), \quad (6.7)$$

$$I^{(p)}(\theta, E) = I_0 \frac{\omega^4}{c^4} \frac{V \varepsilon_a^2}{(4\pi)^2 r^2} \frac{1}{L} (1 - \sin^2 \theta \cos^2 \varphi) \times$$

$$\times \int_{-L/2}^{L/2} \int_{-L/2}^{L/2} dz' dz'' \exp[-iq_{sc,z}(z' - z'')] G_{11}^p(\mathbf{q}_{sc}^\perp, z', z''). \quad (6.8)$$

Здесь

$$G_{22}^h(\mathbf{q}_{sc}^\perp, z', z'') = G_{11}^p(\mathbf{q}_{sc}^\perp, z', z'') = \frac{1}{4K} \left\{ -\frac{\varepsilon_a E^2}{4\pi g} [J(P) - J(Q)] + [J(P) + J(Q)] \right\},$$

$$g = E \sqrt{\left(\frac{\varepsilon_a E}{4\pi}\right)^2 + 4(e_1 - e_3)^2 q_{sc,y}^2}, \quad P = \sqrt{q_{sc}^{\perp 2} + \frac{g}{2K} - \frac{\varepsilon_a E^2}{8\pi K}},$$

$$Q = \sqrt{q_{sc}^{\perp 2} - \frac{g}{2K} - \frac{\varepsilon_a E^2}{8\pi K}}. \tag{6.9}$$

Будем рассматривать флуктуационные моды с $q_x = 0$ ($\varphi = \pi/2$), поскольку в нашей геометрии они наиболее сильно возрастают вблизи порога неустойчивости. Для получения выражений для интенсивностей рассеянного света необходимо вычислить интегралы, входящие в (6.7), (6.8). Они имеют следующий вид

$$\int_{-L/2}^{L/2} \int_{-L/2}^{L/2} dz' dz'' \exp[-iq_{sc,z}(z' - z'')] \operatorname{ch}[\gamma(z' + z'')] = \frac{2}{\gamma^2 + q_{sc,z}^2} [\operatorname{ch}(\gamma L) - \cos(q_{sc,z} L)],$$

$$\int_{-L/2}^{L/2} \int_{-L/2}^{L/2} dz' dz'' \exp[-iq_{sc,z}(z' - z'')] \operatorname{ch}[\gamma(z' - z'')] =$$

$$= \frac{2}{(\gamma^2 + q_{sc,z}^2)^2} \left\{ (\gamma^2 - q_{sc,z}^2) [\operatorname{ch}(\gamma L) \cos(q_{sc,z} L) - 1] + 2\gamma q_{sc,z} \operatorname{sh}(\gamma L) \sin(q_{sc,z} L) \right\},$$

$$\int_{-L/2}^{L/2} \int_{-L/2}^{L/2} dz' dz'' \exp[-iq_{sc,z}(z' - z'')] \operatorname{sh}(\gamma |z' - z''|) = \frac{2}{\gamma^2 + q_{sc,z}^2} \times$$

$$\times \left\{ -\gamma L + \frac{1}{\gamma^2 + q_{sc,z}^2} [(\gamma^2 - q_{sc,z}^2) \operatorname{sh}(\gamma L) \cos(q_{sc,z} L) + 2\gamma q_{sc,z} \operatorname{ch}(\gamma L) \sin(q_{sc,z} L)] \right\}, \tag{6.10}$$

где γ — константа. Тогда с учетом (3.6), (3.7), (3.15), (3.16), (6.7)–(6.10) имеем

$$I^{(h)} = \frac{1}{2} I_0 C \frac{\sin^2 \theta}{L} F(P, Q), \quad I^{(p)} = \frac{1}{4} I_0 C \frac{1}{L} F(P, Q). \tag{6.11}$$

где

$$F(P, Q) = -\left(1 + \frac{\varepsilon_a E^2}{4\pi g}\right) \left\{ \frac{2P [\operatorname{ch}(PL) - \cos(q_{sc,z} L)]}{(P^2 + q_{sc,z}^2)^2 \operatorname{sh}(PL)} - \frac{L}{P^2 + q_{sc,z}^2} \right\} +$$

$$+ \left(\frac{\varepsilon_a E^2}{4\pi g} - 1\right) \left\{ \frac{2Q [\operatorname{ch}(QL) - \cos(q_{sc,z} L)]}{(Q^2 + q_{sc,z}^2)^2 \operatorname{sh}(QL)} - \frac{L}{Q^2 + q_{sc,z}^2} \right\}, \tag{6.12}$$

$$C = \frac{\omega^4}{c^4} \frac{V \varepsilon_a^2 k_B T}{(4\pi)^2 r^2 K}, \quad q_{sc,z} = k(\cos \theta - 1), \quad q_{sc}^\perp = q_{sc,y} = k \sin \theta.$$

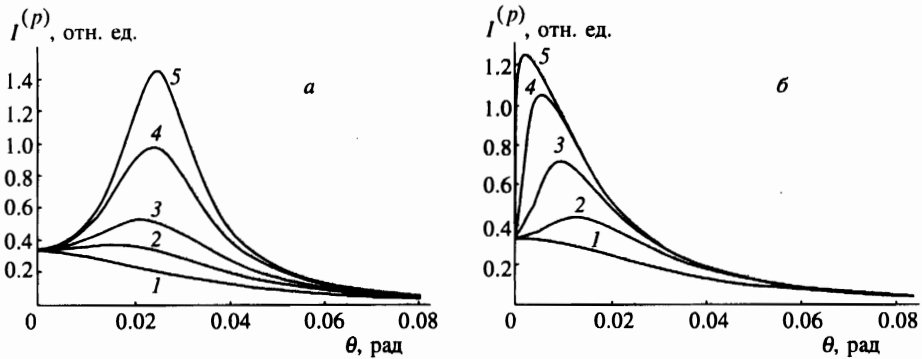


Рис. 2. Угловая зависимость интенсивности рассеянного света в планарно ориентированной ячейке НЖК при различных значениях анизотропии диэлектрической проницаемости и напряжения электрического поля: *a* — $\epsilon_a = 0.1$; 1 — $U = 0$, 2 — $U = 4.5$ В, 3 — $U = 5.4$ В, 4 — $U = 6.03$ В, 5 — $U = 6.12$ В. *б* — $\epsilon_a = 0.7$; 1 — $U = 0$, 2 — $U = 3.15$ В, 3 — $U = 3.312$ В, 4 — $U = 3.339$ В, 5 — $U = 3.3408$ В

Поскольку выражения для $I^{(h)}$ и $I^{(p)}$ различаются угловым множителем, рассмотрим угловую зависимость интенсивности рассеянного света для планарной ориентации. Она приведена на рис. 2 для различных величин внешнего электрического поля и типичных значений параметров НЖК [1–3]: $e_1 - e_3 = 0.57 \cdot 10^{-11}$ Кл/м, $K = 0.7 \cdot 10^{-6}$ дин. Тип перехода зависит от величины анизотропии диэлектрической проницаемости. Граничное значение определяется из соотношения (5.6): $\epsilon_a = 4\pi(e_1 - e_3)^2 / K = 0.52$. Толщина образца положена равной $L = 10^{-3}$ см, волновое число $k = 10^5$ см $^{-1}$.

Рисунок 2*a* соответствует значению $\epsilon_a = 0.1$ (флексозлектрическая неустойчивость). В этом случае критические значения параметров $U_c = E_c L = 6.5$ В, $q_{sc}^\perp = q_c = 2.6 \cdot 10^3$ см $^{-1}$.

На рис. 2*б* приведена зависимость $I^{(p)}(\theta)$ при $\epsilon_a = 0.7$. В этом случае $q_c = 0$, и при $U_c = 3.341$ В имеет место переход Фредерикса.

Из рисунков видно, что интенсивность рассеянного света имеет пик в окрестности $q_{sc}^\perp = q_c$, величина которого возрастает при $E \rightarrow E_c$. Существование такого резко выраженного пика интенсивности дает хорошую возможность для экспериментальной проверки полученных результатов и измерения разности флексозлектрических коэффициентов $e_1 - e_3$.

Заметим, что вблизи точки перехода формулы (6.9), (6.11), (6.12) можно существенно упростить, если ограничиться линейным по $E - E_c$ приближением. Тогда при $q_{sc}^\perp = q_c$

$$g_c \approx \left\{ \frac{2\pi(e_1 - e_3)^3}{[(e_1 - e_3)^2 + \epsilon_a K / 4\pi] L} + \frac{(\epsilon_a / 4\pi)^2 K}{(e_1 - e_3)^2} (E - E_c) \right\} E, \tag{6.13}$$

$$Q_c \approx i \left[\frac{\pi}{L} + \frac{\epsilon_a K / 4\pi + (e_1 - e_3)^2}{2K(e_1 - e_3)} (E - E_c) \right], \tag{6.14}$$

$$F_c(P, Q) \approx \left[\frac{\epsilon_a K}{4\pi(e_1 - e_3)^2} - 1 \right] \left\{ \frac{2Q_c [\text{ch}(Q_c L) - \cos(q_{sc,z} L)]}{(Q_c^2 + q_{sc,z}^2)^2 \text{sh}(Q_c L)} - \frac{L}{Q_c^2 + q_{sc,z}^2} \right\}. \tag{6.15}$$

Подставляя (6.14) в (6.15), получаем

$$F_c(P, Q) \approx \frac{4\pi K [1 + \cos(q_{sc,z}L)]}{(q_{sc,z}^2 - \pi^2/L^2)^2 L^2 (e_1 - e_3)} \left[\frac{\varepsilon_a K - 4\pi(e_1 - e_3)^2}{\varepsilon_a K + 4\pi(e_1 - e_3)^2} \right] (E - E_c)^{-1}. \quad (6.16)$$

Обратим внимание, что при $q_{sc,z} = \pi/L$ выражение для $F_c(P, Q)$ остается конечным. В этом случае в формуле (6.15) нельзя пренебрегать членом $L/(Q_c^2 + q_{sc,z}^2)$, и в силу соотношения

$$\lim_{q_{sc,z} \rightarrow -iQ_c} \left\{ \frac{2Q_c [\text{ch}(Q_c L) - \cos(q_{sc,z}L)]}{(Q_c^2 + q_{sc,z}^2)^2 \text{sh}(Q_c L)} - \frac{L}{Q_c^2 + q_{sc,z}^2} \right\} = \frac{L[QL \text{ch}(QL) + \text{sh}(QL)]}{4Q^2 \text{sh}(QL)}$$

функция $F_c(P, Q)$ имеет вид

$$F_c(P, Q) \approx -\frac{KL^2}{2\pi(e_1 - e_3)} \left[\frac{\varepsilon_a K - 4\pi(e_1 - e_3)^2}{\varepsilon_a K + 4\pi(e_1 - e_3)^2} \right] (E - E_c)^{-1}. \quad (6.17)$$

На рис. 3 приведен график зависимости от поля нормированной обратной интенсивности рассеянного света $I_m^{(p)}(0)/I_m^{(p)}(E)$ в точке максимума $q_{sc,z} = q_c$:

$$\frac{I_m^{(p)}(0)}{I_m^{(p)}(E)} = \frac{F_c(0)}{F_c(P, Q)}, \quad (6.18)$$

где $I_m^{(p)}(0)$ — интенсивность рассеянного света в отсутствие поля,

$$F_c(0) \equiv F(P, Q) \Big|_{q_{sc,z} = q_c, E = 0} = \frac{2}{q_{sc}^2} \left\{ L - \frac{2q_{sc}^\perp [\text{ch}(q_{sc}^\perp L) - \cos(q_{sc,z}L)]}{q_{sc}^2 \text{sh}(q_{sc}^\perp L)} \right\}.$$

Видно, что в достаточно широкой окрестности E_c обратные интенсивности, рассчитанные по точной формуле (6.12) и в линейном приближении (6.16) совпадают. Наклон ξ кривой $I_m^{(p)}(0)/I_m^{(p)}(E)$ при $E \approx E_c$ равен

$$\xi \Big|_{E=E_c} = \beta(e_1 - e_3) \left[\frac{\varepsilon_a K - 4\pi(e_1 - e_3)^2}{\varepsilon_a K + 4\pi(e_1 - e_3)^2} \right],$$

где

$$\beta = \frac{(q_{sc,z}^2 - \pi^2/L^2)^2 L^2 F_c(0)}{4\pi K [1 + \cos(q_{sc,z}L)]}.$$

Его измерение позволяет вычислить разность флексоэлектрических коэффициентов $e_1 - e_3$.

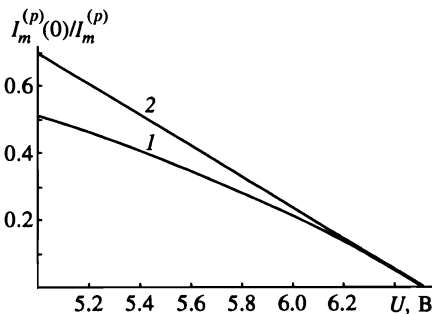


Рис. 3. Зависимость нормированной обратной интенсивности рассеянного света в точке максимума $q_{sc}^\perp = q_c = 2.6 \cdot 10^3 \text{ см}^{-1}$ от величины внешнего электрического поля при планарной ориентации директора, $I_m^{(p)}(0)$ — интенсивность рассеяния при $q_{sc}^\perp = q_c$ и $E = 0$; 1 — расчет по точным формулам (6.12), (6.18), 2 — по формуле линейного приближения (6.16). При вычислениях использованы те же значения параметров, что и на рис. 2а, которым соответствуют величины $\beta = 553.7 \text{ см/дин}$, $F_c(0) = 10^{-10} \text{ см}^3$

7. ОБСУЖДЕНИЕ

Мы рассмотрели корреляционные функции флуктуаций директора НЖК во внешнем электрическом поле с учетом флексоэлектрического эффекта при жестких граничных условиях, т. е. при фиксированной ориентации директора на поверхности. В этом случае образование пространственно-периодических флексоэлектрических структур имеет пороговый характер, причем флуктуационная мода, соответствующая периоду структуры, неограниченно растет при стремлении величины внешнего поля к критическому значению. В оптическом эксперименте такая картина соответствует появлению пика в угловой зависимости интенсивности рассеянного света.

В реальных жидких кристаллах энергия сцепления с подложкой W имеет конечное значение. Последовательный анализ корреляционных функций в этом случае требует отдельного рассмотрения. Однако некоторые качественные заключения о поведении флуктуаций директора можно получить, если сопоставить результаты для двух предельных случаев — фиксированной ориентации на поверхности, рассмотренной в данной работе, и неограниченного образца, когда влияние поверхностных эффектов несущественно. Корреляционная матрица флуктуаций директора во внешнем электрическом поле для безграничной среды легко вычисляется методом, использованным в разд. 3 и 4. Если для определенности считать нематик ориентированным вдоль оси x , $\mathbf{n}_0 = (1, 0, 0)$, а внешнее поле направить вдоль оси z , $\mathbf{E} = (0, 0, E)$, то фурье-образ корреляционной матрицы \hat{G}^∞ флуктуаций $\delta\mathbf{n} = (0, n_y, n_z)$ имеет вид

$$\hat{G}_q^\infty = \frac{k_B T}{K^2 q^4 - [(\varepsilon_a/4\pi)Kq^2 + (e_1 - e_3)^2 q_y^2] E^2} \begin{pmatrix} Kq^2 - (\varepsilon_a/4\pi)E^2 & -i(e_1 - e_3)Eq_y \\ i(e_1 - e_3)Eq_y & Kq^2 \end{pmatrix}, \quad (7.1)$$

где $\mathbf{q} = q(\sin\theta \cos\varphi, \sin\theta \sin\varphi, \cos\theta)$.

Видно, что в этом случае для любого значения электрического поля существуют волновые векторы, определяемые соотношением

$$q = E \left\{ \frac{\varepsilon_a}{4\pi K} + \left[\frac{(e_1 - e_3) \sin\varphi \sin\theta}{K} \right]^2 \right\}^{1/2},$$

для которых корреляционные функции имеют полюс. Это соответствует известному результату Мейера [3, 10] о возникновении периодического распределения директора с волновым числом

$$q \sim \frac{e_1 - e_3}{K} E.$$

Эффект образования пространственной структуры становится пороговым, когда поверхностный вклад в свободную энергию начинает превышать объемный: $W > K/L$ [25, 26]. При $W \ll K/L$, как и в безграничной среде, эффект является непороговым, что соответствует пределу $E_c \rightarrow 0$, $q_c \rightarrow 0$. Отсюда можно заключить, что с ростом энергии сцепления величины q_c и E_c будут расти, стремясь к предельным значениям (5.5) при $W \rightarrow \infty$.

В оптическом эксперименте переход от $W = \infty$ к конечному значению энергии сцепления должен приводить к сдвигу пика интенсивности рассеянного света в сторону меньших углов и уменьшению величины критического поля.

ПРИЛОЖЕНИЕ

Получим выражение (4.10) для матрицы

$$\hat{B}_q^p = \hat{H}' + \hat{I}\partial_z^2. \tag{П.1}$$

Подставляя (4.5) в (4.9), имеем

$$\hat{H}' = \exp\left(\frac{i}{2}\hat{D}^{-1}\hat{C}z\right) \left[\frac{1}{4}(\hat{D}^{-1}\hat{C})^2 + \hat{D}^{-1}\hat{A}_0\right] \exp\left(-\frac{i}{2}\hat{D}^{-1}\hat{C}z\right). \tag{П.2}$$

Подставляя явные выражения для матриц $\hat{A}_0, \hat{D}, \hat{C}$, члены, входящие в (П.2), получаем в виде

$$\begin{aligned} \hat{D}^{-1}\hat{C} &= \begin{pmatrix} 0 & \frac{K_1 - K_2}{K_2}q_y \\ \frac{K_1 - K_2}{K_1}q_y & 0 \end{pmatrix}, \\ \hat{D}^{-1}\hat{A}_0 &= \begin{pmatrix} -\frac{K_3}{K_2}q_x^2 - \frac{K_1}{K_2}q_y^2 & -i\frac{e_1 - e_3}{K_2}Eq_y \\ i\frac{e_1 - e_3}{K_1}Eq_y & -\frac{K_3}{K_1}q_x^2 - \frac{K_2}{K_1}q_y^2 + \frac{\epsilon_a}{4\pi K_1}E^2 \end{pmatrix}, \\ &\frac{1}{4}(\hat{D}^{-1}\hat{C})^2 + \hat{D}^{-1}\hat{A}_0 = \\ &= \begin{pmatrix} -\frac{K_3}{K_2}q_x^2 - \left(\frac{1}{2} + \frac{3K_1}{4K_2} - \frac{1}{4}\frac{K_2}{K_1}\right)q_y^2 & -i\frac{e_1 - e_3}{K_2}Eq_y \\ i\frac{e_1 - e_3}{K_1}Eq_y & -\frac{K_3}{K_1}q_x^2 - \left(\frac{1}{2} + \frac{3K_2}{4K_1} - \frac{1}{4}\frac{K_1}{K_2}\right)q_y^2 + \frac{\epsilon_a}{4\pi K_1}E^2 \end{pmatrix}. \end{aligned} \tag{П.3}$$

Матрица поворота $\exp(\pm(i/2)\hat{D}^{-1}\hat{C}z)$ имеет вид

$$\exp\left(\pm\frac{i}{2}\hat{D}^{-1}\hat{C}z\right) = \exp[\hat{M} \cdot (\pm z)] = \hat{T} \begin{pmatrix} \exp(\pm\lambda_1 z) & 0 \\ 0 & \exp(\pm\lambda_2 z) \end{pmatrix} \hat{T}^{-1}, \tag{П.4}$$

где

$$\hat{M} = \begin{pmatrix} 0 & -\tau\sqrt{K_1/K_2} \\ -\tau\sqrt{K_2/K_1} & 0 \end{pmatrix},$$

$$\tau = \frac{1}{2i} \frac{K_1 - K_2}{\sqrt{K_1 K_2}} q_y,$$

$$\hat{T} = \begin{pmatrix} 1 & 1 \\ -\sqrt{K_2/K_1} & \sqrt{K_2/K_1} \end{pmatrix}$$

— матрица из собственных векторов, $\lambda_{1,2} = \pm\tau$ — собственные значения матрицы \hat{M} .

Подставляя эти выражения в формулу (П.4), получаем

$$\exp\left(\frac{i}{2}\hat{D}^{-1}\hat{C}z\right) = \hat{T}\begin{pmatrix} e^{\tau z} & 0 \\ 0 & e^{-\tau z} \end{pmatrix}\hat{T}^{-1} = \begin{pmatrix} \cos\alpha & -i\sqrt{K_1/K_2}\sin\alpha \\ -i\sqrt{K_2/K_1}\sin\alpha & \cos\alpha \end{pmatrix},$$

$$\exp\left(-\frac{i}{2}\hat{D}^{-1}\hat{C}z\right) = \begin{pmatrix} \cos\alpha & i\sqrt{K_1/K_2}\sin\alpha \\ i\sqrt{K_2/K_1}\sin\alpha & \cos\alpha \end{pmatrix}, \quad (\text{П.5})$$

где

$$\alpha = -i\tau z = -\frac{1}{2i}\frac{K_1 - K_2}{\sqrt{K_1 K_2}}q_y z.$$

Подставляя (П.3), (П.5) в (П.2) и перемножая матрицы, получаем оператор \hat{B}_q^p в виде (4.10).

Литература

1. П. Де Жен, *Физика жидких кристаллов*, Мир, Москва (1977).
2. С. Чандрасекар, *Жидкие кристаллы*, Мир, Москва (1980).
3. С. А. Пикин, *Структурные превращения в жидких кристаллах*, Наука, Москва (1981).
4. Л. Д. Ландау, Е. М. Лифшиц, *Статистическая физика. Ч. 1*, Наука, Москва (1976).
5. Б. Я. Зельдович, Н. Ф. Филиппецкий, А. В. Сухов и др., *Письма в ЖЭТФ* **31**, 287 (1980).
6. А. С. Золотыко, В. Ф. Китаева, Н. Кроо и др., *Письма в ЖЭТФ* **32**, 170 (1980).
7. I. C. Khoo, *Phys. Rev. A* **25**, 1040 (1982).
8. S. J. Elson, I. Solymar, and D. J. Webb, *Phys. Rev. E* **48**, 1172 (1993).
9. В. П. Романов, Д. О. Федоров, *Опт. и спектр.* **79**, 313 (1995).
10. P. Galatola and M. Rajteri, *Phys. Rev. E* **49**, 623 (1994).
11. K. Eidner, M. Lewis, H. K. M. Vithana et al., *Phys. Rev. A* **40**, 6388 (1989).
12. M. San Miguel and F. Sagues, *Phys. Rev. A* **36**, 1883 (1987).
13. F. Sagues, M. San Miguel, *Phys. Rev. A* **39**, 6567 (1989).
14. P. Galatola, C. Oldano, and M. Rajteri, *Phys. Rev. E* **49**, 1458 (1994).
15. C. Oldano, *Phys. Rev. Lett.* **56**, 1098 (1986).
16. E. Miraldi, C. Oldano, and A. Strigazzi, *Phys. Rev. A* **34**, 4348 (1986).
17. R. V. Meyer, *Phys. Rev. Lett.* **22**, 918 (1969).
18. Б. Я. Зельдович, Н. В. Табириян, *ЖЭТФ* **81**, 1738 (1981).
19. Т. Я. Марусий, Ю. А. Резников, В. Ю. Решетняк и др., *ЖЭТФ* **91**, 851 (1986).
20. F. Lonberg and R. V. Meyer, *Phys. Rev. Lett.* **55**, 718 (1985).
21. В. П. Романов, А. Н. Шалагинов, *ЖЭТФ* **102**, 884 (1992).
22. А. Ю. Вальков, В. П. Романов, А. Н. Шалагинов, *УФН* **164**, 149 (1994).
23. Л. Д. Ландау, Е. М. Лифшиц, *Электродинамика сплошных сред*, Наука, Москва (1995).
24. V. L. Kuz'min, V. P. Romanov, and L. A. Zubkov, *Phys. Rep.* **248**, 71 (1994).
25. S. A. Pikin, V. G. Chigrinov, and V. L. Indenbom, *Mol. Cryst. Liq. Cryst.* **37**, 313 (1976).
26. Y. P. Bobylev, V. G. Chigrinov, and S. A. Pikin, *J. de Phys. Coll.* **40**, C3-331 (1979).